

(90) CO-CO<sub>2</sub>混合ガスによる焼結鉱の昇温還元に及ぼすH<sub>2</sub>添加の影響

北海道大学工学部 ○葛西直樹 石井邦宜 近藤真一

1. 目的 前報<sup>1)</sup>では、Ar-CO-H<sub>2</sub>系での試験結果を報告した。今回は、CO<sub>2</sub>存在下でのH<sub>2</sub>添加の影響を調査するため、Ar-CO-CO<sub>2</sub>-H<sub>2</sub>系での荷重還元試験を行なったので結果を述べる。

2. 方法 方法は前回と同様である。試料は塩基度1.38の焼結鉱である。ガスはArを70%に固定しCO/CO<sub>2</sub>およびH<sub>2</sub>/(CO+CO<sub>2</sub>)を変化させた。また、昇温速度は10°C/min一定とした。

3. 結果 黒鉛るつぼを用いた場合の還元速度曲線をFig.1に示す。CO<sub>2</sub>濃度の増加とともに還元速度は小さくなる。そして、1150°C付近に還元速度の隆起が見られるようになる。これは、1000°C付近より起こり始めるカーボンのガス化によるものである。アルミナるつぼを用いた場合、Fig.2に示すように、この様な隆起は観測されず、CO<sub>2</sub>による炭材のガス化が還元に寄与していることが判る。なお1000°C以下ではるつぼによる還元速度の違いはない。また、H<sub>2</sub>を添加すると1100°C以下の還元が促進され、溶融還元量が減少する。これらの結果について、多界面未反応核モデルを用いた解析を試みた。Ar-CO-CO<sub>2</sub>系とAr-H<sub>2</sub>系について反応速度定数kとDiffusibility δを試行錯誤法により決定した。各段階におけるCO還元の反応速度定数kは以下の様である。

$$k_{H-H} = \exp(-9.73 - 9530/T)$$

$$k_{H-W} = \exp(14.26 - 15000/T)$$

$$k_{W-F} = \exp(11.01 - 12000/T)$$

CO<sub>2</sub>の添加によってkは変わらないが、δは減少する。各ガス組成での値をTable1に掲げる。以前に求めたH<sub>2</sub>還元のパラメータ<sup>1)</sup>と今回の値を使って還元速度を再計算した結果の一例をFig.2に示す。CO/CO<sub>2</sub>=9/1のδを使って計算したとき、実測値が計算値を上まわっており、むしろ10/0のδを用いた方が実測に見合っている。すなわち、H<sub>2</sub>添加による生成物層内拡散の回復現象が見られる。本計算では、水性ガスシフト反応の速度定数として、秋山らの値<sup>2)</sup>を用いているが、水性ガスシフト反応がないとしたときの結果もFig.2に併示している。水性ガスシフト反応は全過程にわたってPH<sub>2</sub>を減少させる方向に働くが、還元に対する影響はほとんどない。

CO/CO<sub>2</sub>=10/0の場合に観測された炭素析出(700°C以下)

と、その再びのガス化(700~900°C)はCO<sub>2</sub>添加によって消失する。ガス化開始温度はCO<sub>2</sub>を増すと低下し、8/2の場合で約930°Cとなつた。

【文献】 1)葛西ら; 鉄と鋼, 70(1984), s 812

2)秋山ら; 鉄と鋼, 71(1985), s 97

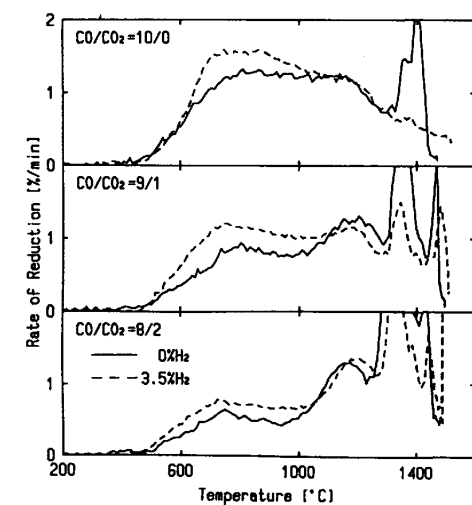


Fig.1 Variation of Reduction Rate Curves at 10°C/min.

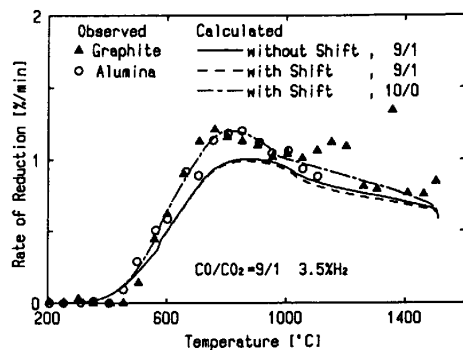


Fig.2 Calculated Rate Curves and Observed One.

Table 1 Temperature Dependence of Diffusibility δ = exp(A - B/T)

H <sub>2</sub> CO/CO <sub>2</sub>	0%				3.5%					
	10/0		9/1		8/2		9/1		8/2	
	A	B	A	B	A	B	A	B	A	B
M	-1.05	1540	2.59	5970	7.76	10400	-0.69	1980	2.59	5970
M	-0.63	2020	-1.81	2020	-2.98	2020	-0.53	2020	-2.03	2020
Fe	4.53	8320	3.29	8320	2.04	8320	4.51	8320	3.18	8320